

有限要素法による不連続面をもつ岩盤基礎の解析
(岩盤と透水の相互作用)

京都大学工学部 正員 大西 有三
住友商事 正員 ○頬野 茂

1.はじめに

最近、岩盤等の内部を流れる水に対する関心が高まっているが、本研究ではジョイント(節理などの岩盤の不連続部を総称してこう呼ぶ)の変形性と、岩石部分の応力との相互作用を考慮に入れて、図-1に示す理想化されたジョイントのある岩盤内の応力と流れの解析を有限要素法をもって行った。

2.計算方法

解析にあたって岩石は弾性で不透水と仮定する。またジョイントは非弾性とし、ジョイント内の水の流れは、Navier-Stokesの式によって近似される非圧縮性粘性流体の層流であると仮定する。ジョイント内の流れは定常流とすると、次の連続の式が導かれる。

$$\frac{\partial}{\partial l} \left(K_p \frac{\partial h}{\partial l} \right) = 0 \quad (1)$$

変分原理により(1)式の解は、次の汎関数を最小にするかを求めることが同じである。

$$\Omega(h) = \sum_{m=1}^M \int_L K_p \left(\frac{\partial h}{\partial l} \right)^2 dl + \sum_{m=1}^N \{ g_m \}^T \{ h_m \} \quad (2)$$

$\{ g_m \}$; N境界要素での流れベクトル

$\{ h_m \}$; N境界要素での水頭ベクトル

(2)式を h_m で偏微分し、すべての要素について合計すると次式の流れについての平衡方程式が得られる。

$$[K_f] \{ h \} - \{ Q \} = 0 \quad (3)$$

また岩石構造部についての平衡方程式を書くと、次式になる。 $\{ \delta \}$; 变位ベクトル, $\{ F \}$; 外カベクトル

$$[K_s] \{ S \} - \{ F \} = 0 \quad (4)$$

(3)式, (4)式を書きなおすと

$$\frac{1}{\rho} [K_f(S)] \{ P \} - \{ Q \} = 0 \quad K_f(S) \Big|_{S=0} = 0 \quad (3')$$

P ; 水の単位体積重量, P ; 水の圧力, Q ; 流量

$$[K_s] \{ \delta \} - \{ F(P) \} = 0 \quad F(P) \Big|_{P=0} = 0 \quad (4')$$

ここで、この2つの平衡方程式を反復法で解く。まず $P = 0$ の状態を考えて(3')を求める。次にこの(3')をもって $[K_f(S)]$ を修正し、(3)式から水圧の第1近似 $\{ P \}$ を求める。この $\{ P \}$ をもって $\{ F(P) \}$ を修正し、(4)式から $\{ \delta \}$ を求める。以下同様に繰り返し、 P が収束するまで計算を行う。

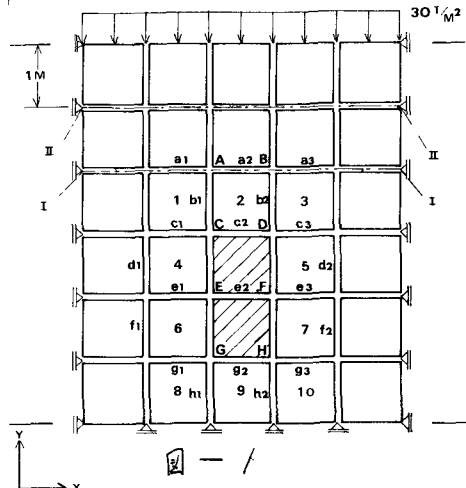


図-1

3. 解析結果および考察

図-1に示す理想化された岩盤に水がある時の状態で掘削(斜線部)した場合と水がない状態で掘削した場合を解析し、比較検討した。図中の数字は岩石、大文字アルファベットはジョイントを表わす。水がある場合、境界条件とし、図の左側および右側のジョイント部におのおの10%、5%の水圧を想定した。また岩盤の上面と底面では水の出入りはないものとした。あたえた入力データは以下の通りである。岩石については、ポアソン比0.25、圧縮および引張りのヤング率はおのおの $7.0 \times 10^5 \text{ N/m}^2$ 。ジョイントについては、摩擦角 40° 、粘着力なし、せん断および垂直方向の剛性をおのおの $1.4 \times 10^5 \text{ N/m}^2$ 。初期のジョイントの開きは 0.005 m とした。ジョイントの構成関係は図-3、4に示す。図-2は図-1内のI-I線、II-II線に沿う水圧の変化の状態を示す。これから掘削によってその周辺で急激な水圧の変化が起こることがわかる。表-1は図-1のA~H点の流量を示す。これから掘削によって掘削面のジョイントから、多量の湧水が生じることがわかる。特にC点、D点が他の点に比べて顕著である。表-2は掘削した状態で水のある場合とない場合のジョイントの応力を示す。応力は剪応力で引張りを正とする。これからわかることは、d₁、d₂、f₁、f₂の垂直方向の応力が水のない場合正縮であったのが、水流れる場合引張りに変化している。その結果ジョイントの開きが大きくなる。すなわち水が存在する場合掘削部分の周辺の岩石相互の結合が、水がない場合に比べて、非常に弱くなることわかる。

参考文献

Noorishad, J., P.A. Witherspoon, and T.L. Brekke, 1971, Pub. No. 71-6, Univ. of Calif. Berkeley.

Goodman, R.E. and Dubois, J., 1972, V. 98, No. SM 4.
"Journal of Soil Mechanics and Foundation
Division, ASCE,"

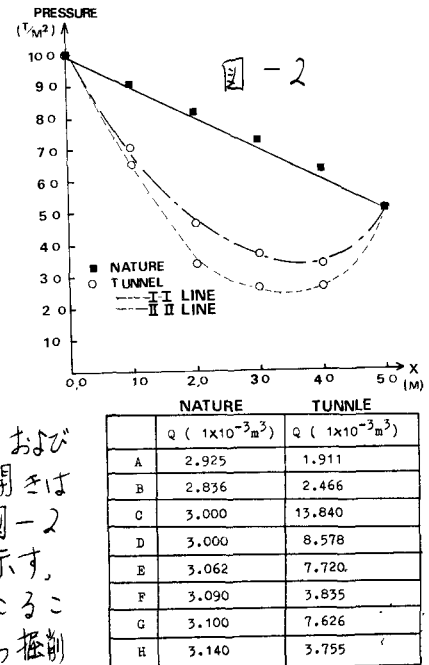


表-1

WATER			NO WATER			
Normal Stress	Tangential Stress	Fracture Width	Normal Stress	Tangential Stress	Fracture Width	
(1×10^3)	(1×10)	(1×10^{-3})	(1×10^3)	(1×10)	(1×10^{-3})	
a1	-0.299	-0.312	4.780	-0.448	-0.462	4.744
a2	-0.052	0.095	4.780	-0.097	0.000	4.932
a3	-0.346	0.489	4.772	-0.448	0.462	4.744
b1	-0.032	0.847	4.956	-0.015	0.635	4.987
b2	-0.053	-0.885	4.947	-0.015	-0.635	4.987
c1	-0.480	-0.552	4.703	-0.511	-0.300	4.721
c3	-0.485	0.547	4.720	-0.511	0.300	4.721
d1	0.110	0.000	5.218	-0.026	0.114	4.986
d2	0.034	-0.142	4.989	-0.026	-0.114	4.986
e1	-0.527	-0.028	4.697	-0.543	-0.037	4.725
e3	-0.517	0.066	4.725	-0.543	0.037	4.725
f1	0.106	0.000	5.216	-0.017	-0.210	4.993
f2	0.052	0.000	4.989	-0.017	0.210	4.993
g1	-0.573	0.478	4.701	-0.605	0.132	4.713
g3	-0.558	-0.187	4.728	-0.605	-0.132	4.713
h1	-0.098	-0.510	4.938	-0.038	-0.339	4.981
h2	-0.098	0.428	4.938	-0.038	0.339	4.981

表-2

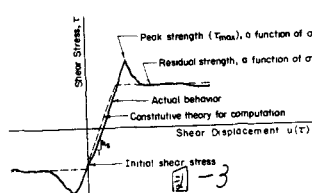


図-3

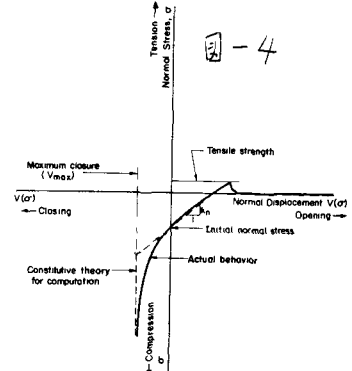


図-4